

轧钢原理与工艺

技术科学付博士、付教授 伊·卡·苏沃洛夫讲稿

钢铁压力加工教研室整理

东北工学院

1957

苏联专家讲稿

轧钢原理与工艺

技术科学付博士、付教授 伊·卡·苏沃洛夫講稿

钢铁压力加工教研室整理

—仅供内部参考—

东北工学院

本書為蘇聯莫斯科斯大林鋼鐵學院軋鋼教研室技術科學副博士И·К·蘇沃洛夫在
本院鋼鐵壓力加工教研室任教期間講課記錄及部分講稿整理的材料。

全書共分四章，第一章為金屬壓力加工原理，根據專題講課的記錄整理而成，主要
闡述軋制過程中的基本原理。第二章講述各種鋼材的生產工藝過程及其特點。第三章闡
述孔型設計的基本理論及其設計方法。第四章介紹軋制原理的實驗方法及其步驟。

本書可作為高等工業學校教學參考書，也可供工程技術人員和研究人員作為參考。

本書為收集專家的講稿和教研室中同志們的筆記經過翻譯和整理而成，由劉寶珩同
志收集和初步編排。第一章由葉茂同志最終審校，其餘各章由范宗榮和劉鳳圖兩同志最
終審校。全書內容未經專家校閱，而整理和審校者業務水平和時間有限，錯誤難免，請
予指正。本書中部分插圖縮小比例尺不一致，請讀者注意。

目 录

第一章 金屬壓力加工原理

§ 1. 几种压力加工过程的特点.....	(1)
§ 2. 压力加工时金属的不均匀变形及其对产品质量的影响.....	(13)
§ 3. 被加工金属与加工工具之间的相互关系.....	(16)
§ 4. 超级压缩.....	(19)
§ 5. 前滑.....	(20)
§ 6. 轧件对轧辊的压力.....	(23)
§ 7. 轧制道数对宽展及能量消耗的影响.....	(32)

第二章 軋鋼工藝

§ 1. 軋鋼車間在冶金工厂組成中所佔的地位、軋鋼車間的組成、產品種類.....	(35)
§ 2. 軋鋼機的一般結構.....	(37)
§ 3. 軋鋼機的分類.....	(38)
§ 4. 半成品、型鋼、線材、帶鋼、厚板、中板和薄板、鋼軌和鋼梁生產的基本工藝過程.....	(40)
§ 5. 中型、小型鋼材和線材生產的主要工藝過程.....	(42)
§ 6. 薄板和厚板的生產.....	(43)
§ 7. 窄的薄板卷和帶鋼的軋制.....	(46)
§ 8. 冷軋薄板及帶鋼的軋制.....	(47)
§ 9. 优质鋼和合金鋼的軋制.....	(49)
§ 10. 軋鋼機的生產能力.....	(51)
§ 11. 軋鋼機電力傳動的分類.....	(57)
§ 12. 傳動軋鋼機的電動機功率選擇.....	(59)
§ 13. 軋輥.....	(59)
§ 14. 軋鋼機的導衛裝置.....	(66)
§ 15. 軋鋼機的調整.....	(69)

第三章 軋輥孔型設計

§ 1. 緒論.....	(71)
§ 2. 孔型的分類及其一般性質.....	(72)
§ 3. 孔型的各个組成部分.....	(73)
1. 兩個軋輥之間的輥縫、孔型的斜度.....	(73)
2. 孔型側壁斜度.....	(73)

3. 孔型的上压力与下压力.....	(74)
4. 轧輻平分綫、軋制綫，孔型中立綫，孔型在軋輻上配置的規則.....	(75)
5. 决定軋輻工作直徑.....	(77)
6. 孔型中的压下量.....	(77)
7. 变形系数，决定变形系数的因素.....	(79)
8. 孔型中的寬展.....	(83)
§4. 开坯及延伸孔型.....	(86)
1. 箱形孔型.....	(86)
2. 初轧机軋輻孔型設計.....	(87)
3. 三輻开坯机軋輻孔型設計.....	(94)
4. 連續式鋼坯軋机軋輻孔型設計.....	(98)
5. 連續式鋼坯軋机的孔型設計計算程序.....	(100)
6. 連續式鋼坯軋机的标准孔型.....	(100)
7. 菱形孔型.....	(101)
8. 菱方孔型系統的軋輻孔型設計.....	(105)
9. 槽园——方孔型系統.....	(108)
10. 其他延伸孔型系統.....	(111)
§5. 成品的孔型設計.....	(112)
1. 簡單斷面孔型設計.....	(112)
2. 圓鋼孔型設計.....	(113)
3. 方鋼孔型設計.....	(116)
4. 扁鋼孔型設計.....	(118)
5. 角鋼孔型設計.....	(124)
6. 異形鋼材孔型設計.....	(129)
7. 工字鋼孔型設計.....	(133)
8. 槽鋼孔型設計.....	(142)
9. 鋼軸孔型設計.....	(146)
10. 結論	(153)

第四章 實驗

一 實驗的准备与安全技术.....	(154)
二 体积不变定律.....	(155)
三 軋件曳入問題.....	(157)
四 寬展.....	(158)
五 前滑現象.....	(160)
六 变形抗力的測定.....	(162)
七 軋机彈性变形.....	(164)
八 軋机效率的測定.....	(166)
九 不均匀变形.....	(170)
十 孔型內軋制.....	(172)

第一章 金属压力加工原理

§ 1 几种压力加工过程的特点

金属压力加工过程主要有以下四种：

1. 轧制。
2. 拉丝。
3. 挤压。
4. 锻造和冲压等。

现在研究一下这几种压力加工过程的主要特点。这四种压力加工过程中应用最广泛的是锻造，它几乎在各工厂中均可遇到。从日用品到机械零件，就产品种类和样式来看，锻造制品可占第一位。但是若以产品重量计算，则约有75~80%的金属需要经过轧制。所以说，轧制过程在压力加工生产上占有首要位置。其重要性不仅在于它所占的生产比重大，而且可用轧制方法生产各种加工所需的坯料。例如：拉丝、挤压等加工所需坯料几乎全是用轧制加工得来的。各种压力加工过程的共同点都是建立在金属塑性变形过程的基础上。但在研究变形特点及其对产品质量影响等问题时，则各种压力加工过程皆有其独特的应力状态和不同之点。

如以锻造和轧制为例，则可看到这两个加工过程是不同的。轧制是连续的，而锻造是不连续的加工过程。以前曾有人说：“轧制是锻造的积分”。这种看法不一定正确。在此问题上，苏联学者巴甫洛夫首先提出锻造与轧制还不如轧制与拉丝更接近些的看法，因为此二加工过程均为连续性的。

巴甫洛夫提出以下几种模型作比较（图1—1）：

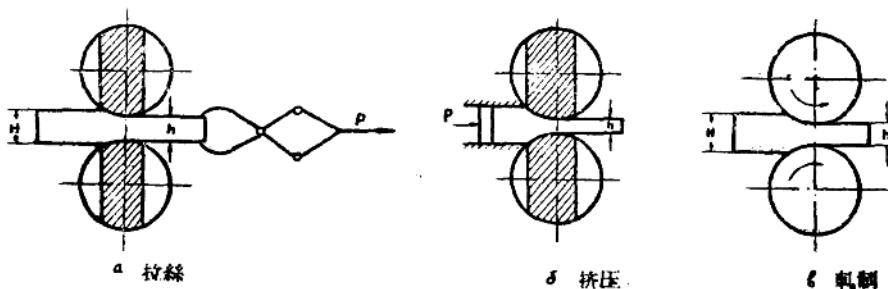


图 1—1

图1—1, b所示为轧制过程。如果轧辊不转动则变成固定的模孔，在金属前端加以拉力即变成拉丝过程（图1—1, a所示）。如果将外力加在金属后端，并改为压力，

則加工過程即由拉絲改變成為挤压（圖1—1, 6所示）。此三種壓力加工過程有著共同的特點。首先其變形過程是連續的，無論在沿金屬長度的那個斷面上金屬都將經過同樣的變形過程；經過變形區後變形金屬皆由原來高度H變為最後高度h；另外，在變形過程中金屬都有前後端的作用存在。當然在此三種加工過程中也有許多不同之點。如應力狀態與變形圖等是不同的，在研究時應該特別注意到這些問題。

鍛造和沖壓與以上三種加工過程不同，因為其變形過程不是連續的，並且工具與金屬的接觸情況也不一樣〔塔爾諾夫斯基（Тарновский）的看法與此相反，他認為鍛造與軋制相似，此點在1954年出版的“金屬塑性加工時的變形”一書中曾提到〕。

把各種壓力加工過程聯繫起來比較可以找出其共同特點，這項工作首先是巴甫洛夫教授完成的。現將各種加工過程之特點分別加以研究。

1. 拉絲過程分析

拉絲過程廣泛地應用於有色及黑色金屬的線材生產上。拉絲可在冷的或熱的狀態下進行（如鎢絲在 $T = 1500^{\circ}\text{C}$ 高溫下進行加工），但對於一般金屬還是在冷狀態下拉制。

如圖1—2所示，拉絲的主要特徵是：
 $Q_{\max} \leq \omega_s \cdot \delta_{yp}$

式中： δ_{yp} —金屬的彈性極限
公斤/公厘²

ω_s —變形後的金屬斷面積 公厘²

Q_{\max} —最大的拉力 公斤。

在拉絲過程中的拉力為： $Q = (\omega_1 - \omega_s) P + T$ ；

式中：T—摩擦力及其他抗力；

P—模孔中的單位壓力。

拔制前後金屬斷面差愈大則Q力愈大。但Q力不可能隨意增大，它要受到一定條件的限制，Q力之最大值： $Q_{\max} = \omega_s \delta_{yp}$ 即：

$$(\omega_1 - \omega_s) P + T = \omega_s \delta_{yp}; \quad \text{所以}, \quad \frac{\omega_1 - \omega_s}{\omega_s} = \frac{\delta_{yp}}{P} - \frac{T}{\omega_s P}$$

$$\text{即 } \mu = \frac{\delta_{yp}}{P} - \frac{T}{\omega_s P} + 1. \quad (\mu = \frac{\omega_1 - \omega_s}{\omega_s} + 1 \text{——延伸率或延伸系數})$$

由上式可看出，如認為 $\frac{T}{\omega_s P}$ 等於零，則 μ 與 δ_{yp} 成正比關係。所以當金屬的 δ_{yp} 很低

時則很難進行拉絲加工（如用鉛條進行拉絲加工則很難達到目的）。另外也應注意到， $P = \varphi(\delta_{yp})$ ，式中表明P為 δ_{yp} 的函數，如若 δ_{yp} 增加則P值必然也加大，若兩者增加速度相同，則不能使 μ 增加。只有當 δ_{yp} 增加速度大於P的增加速度時才會使 μ 值增加。

由以上關係也可找出增加 μ 值的方法。如加潤滑劑可使T減少，因而使 μ 值增加；同時，為了減少摩擦系數也可以改變拉絲模的形式，可用轉動式的模孔代替固定式的模孔，

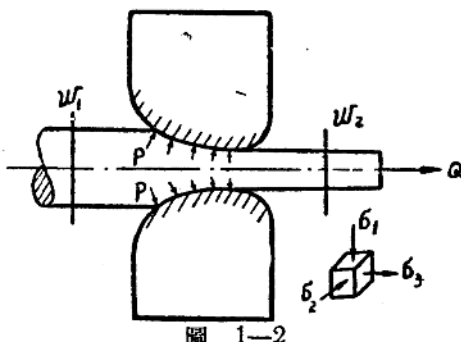


圖 1—2

即金属在模孔中以滚动摩擦代替了滑动摩擦，使 μ 值可由1.2~1.3增加到3~4或更高些。转动式模孔的构造为在拉丝模的模孔上装设有转动的小辊，以保证金属与模孔间的滚动摩擦。

拉丝过程中的应力状态为异号应力图示，即如图(1—2)所示， σ_1 、 σ_2 为压应力， σ_3 为拉应力，所以变形抗力较小。但此异号应力图示由于摩擦力的影响则愈向金属入口方面移动。 σ_3 拉应力的影响则愈低，所以在金属入口处 p 值较大，模孔磨损亦较严重。为了减少模孔入口处的变形抗力，在拉丝过程中可加以适当的后拉力。

拉丝过程不仅可以生产圆形线材，也可以生产其他形状的产品，并能制造管材。如冷拔钢管等。

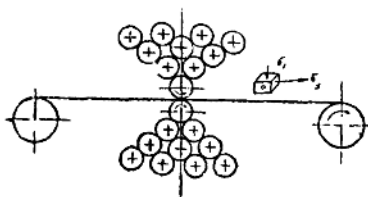


圖 1—3

制造薄板带材常用拉伸一轧制过程，这是把拉丝与轧制过程联合起来的加工型式。此时工作辊是靠摩擦力来转动，工作辊直径可小到10公厘如，图1—3所示。

2. 挤压过程分析

挤压过程也是连续的塑性变形过程之一。

此点与轧制及拉丝过程相同。这种加工方法对于金属塑性变形有极良好的影响，可以得到最大的塑性，故挤压过程现已被广泛应用。例如，铝镁合金和黄铜合金在某些加工条件下显示出脆性，而用挤压过程加工则可得到良好的结果。

现在分析一下挤压加工工具与被加工金属间的相互作用，如图1—4所示，在aaa面上有金属作用在工具上的压力（变形抗力为 σ ）及摩擦力 T 。在66及BB面上也同样有阻碍金属流动之摩擦力 T' 及 T'' 作用着，此外也有压力。由以上分析力的作用可知，变形区内主应力图示为三向压缩，所以说明此种加工过程可得到较大的金属塑性。但是，在三向压缩的主应力图示条件下进行加工会使金属变形抗力增大，故挤压一般均在高温下进行。

挤压时金属产生三向压缩的主应力图示，这从塑性变形观点来看对变形金属是有利的，

但从变形抗力及能量消耗的观点来看是不利的，所以这种加工过程并不适合于所有各种金属，例如，在黑色金属方面则很少应用，因为黑色金属变形抗力高，为降低抗力必须增加温度（要达1100—1200°C），但在此种高温下加工工具强度则很成问题。对某些难熔的金属也很少采用挤压加工过程。但它在有色金属及某些低塑性合金的加工中已广泛采用。

最后应该指出，挤压过程变形区内的金属均为三向压缩应力状态，这一点是共同的，但是在各部所受压缩程度则各有不同（即应力是不均匀分布的），由于外摩擦的影

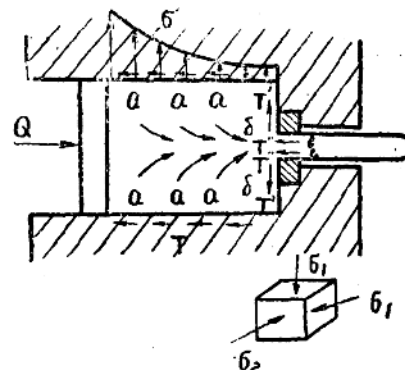


圖 1—4

响是由表面层向金属中心层方面逐渐减低，所以压缩应力也逐步减少，致使中心层的金属容易流动。

挤压时各种变形区形状古布金(Губкин)归纳成三种情况(如图1—5 I、II、III所示)。

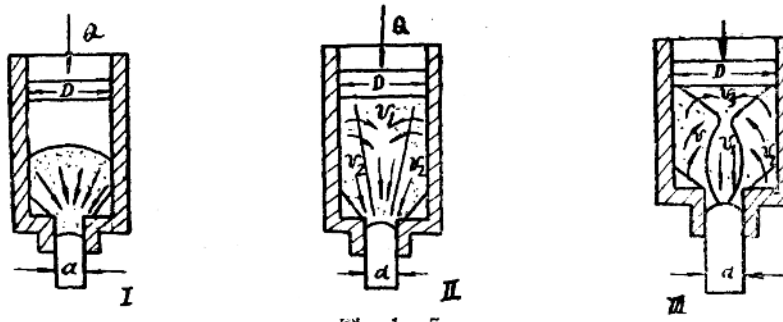


圖 1—5

1) 圖1—5. I 所示的第一种变形区并不是沿着金属全部高度上产生的，而变形区只是普及到一部分。这种变形区形状在一般加工情况下很少遇到，只有当摩擦系数很小时才可能产生。

2) 圖1—5. II 所示的第二种变形区是实际上常见的型式，此时摩擦系数比前一种增高了，V₁流域金属流动阻力加大，所以多数金属必流入V₁区域后，方可流出。

3) 圖1—5. III 所示的第三种变形区是在摩擦系数很大时才会出现，此时V₁区域金属首先流入V₁区域，然后才可经V₁区域而流出。

挤压时影响变形区形状的，除外摩擦因素以外，还有金属之刚度(Жесткость)。沿变形区横断面上金属之刚度不同(如外层金属冷的快，则其刚度大)，则易产生后两种变形区形状。如各部分金属的刚度均匀，则易出现第一种变形区。另外，D/d比值愈大，则易产生第二、三种变形区。

以上，分析了三种变形区的型式，比较起来以第三种变形区最不好，所得产品之机械性能最差，而且挤余部分最大，浪费金属最多。第二种变形区较好，第一种变形区最为理想。为了避免产生第三种变形区，可以采用润滑剂以减少外摩擦，或者采用反向挤压法(圖1—6)。

如圖1—7所示，h为变形区高度。

第一种变形区时 $h = \frac{D}{2}$ 。在下角区域

内变形过程中金属不发生流动，此区域称为死区，死区一般说来是有利的，由于有死区可使产品表面光洁。在反向挤压中死区高度h'一般为 $(\frac{D}{8} - \frac{D}{4})$ ，当

摩擦系数很小、金属塑性很好时，死区



圖 1—6

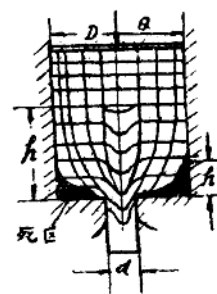


圖 1—7

可能消失。

总之，挤压时金属的流动情况是很复杂的，由于压缩率、外摩擦及机械性能等之不同，可以得到各种不同的金属流动图。但从经济观点及对产品质量影响来看，以第一、二两种变形区为宜（产品质量好，能量消耗少，金属消耗低），而第三种变形区应极力避免。

挤压过程可以得到很高的延伸率（ μ ），此点为其他压力加工过程所不及。就对产品性质影响来看， μ 值过低是不利的，因为 μ 小可使产品内外层的机械性能不均匀。当压缩率（ q ）达90%时，金属内外层性能可趋于一致，可以得到较高的产品质量。如图（1-8）所示。

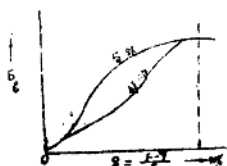


圖 1-8

挤压的动力设备为挤压机，它的能量消耗很大，挤压机的压力有：10,000吨、5,000吨、3,000吨等，一般以3,000吨者最常用。

挤压过程所能制出的产品种类甚多，除常见的圆形棒材外，尚可制造各种异形断面之产品，如S、L等形状，这些产品用一般轧制方法是很难得到的。用挤压加工方法所得到之产品质量较好，尺寸精确，表面也比较光洁。

挤压过程不仅能生产实心产品，同样也可以生产空心产品，如管材等。制管的挤压方式有两种，如图（1-9）所示。

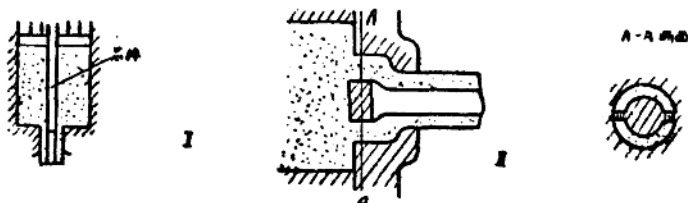


圖 1-9

挤压过程现在已愈来愈广泛的用于金属压力加工上，在开始时只用于有色轻金属，现在也用于有色重金属方面。今后尚待进一步研究，以求更广泛的采用。

对挤压问题的研究开始较晚，世界上最早对此问题进行研究的算是苏联学者吉布金和他的学生们。他们对挤压生产及工具强度等问题都进行过研究，巴甫洛夫对挤压产品断面上产生裂纹问题作了较详细的研究。但应当指出，关于挤压方面尚有许多问题有待今后研究。例如，在变形区内金属流动的情况，断面上各处的不均匀变形以及加工工具等问题。

世界上有关挤压方面的参考书籍很少，第一本书为苏联学者依斯托民（Истомин）所著（1937年出版，以后曾有再版），近年来吉布金和他的学生们在杂志刊物上曾发表了一些研究资料，可以作参考。

3. 轧制过程分析

1) 纵向轧制

所謂軋制過程就是金屬從兩個旋轉的軋輥間通過，金屬受軋輥的輾壓使其高度（或斷面）減少，而長度增加的加工過程。它是金屬壓力加工的主要方法之一。軋制的方式很多，此處僅就縱軋、橫軋與斜軋的加工過程加以分析，首先研究最常見的縱軋過程（以下簡稱為軋制過程），如圖 1—10 所示。軋制過程的變形特點是：金屬為連續的變形過程，即沿長度方向各斷面的變形情況相同，這與挤压及拉絲是一致的。在軋制原理中所討論的問題目前一般尚只停留在簡單軋制情況上，對其它軋制情況的研究尚較少。

所謂簡單軋制情況必須遵守下列條件：

(1) 兩個軋輥的直徑相同，皆有動力傳動，且其角速度相同；上下兩輥為同一材料製成者，表面情況一樣，軋輥是平的；軋輥的彈性變形可以忽略。

(2) 軋件在軋制前是方形或長方形斷面，並且沿長度方向各處橫斷面相等；軋制前後在軋件寬度上各處高度相同，坯料體積內部各處具有同一的物理機械性質。

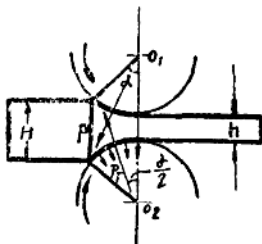


圖 1—10

(3) 在遵守以上條件下，軋件在每個軋輥上之壓下量及上下兩輥接觸面上之摩擦力也相同，並認為軋件變形是均勻的。

應當指出，以上所說的簡單軋制情況是理想的情況，是假設的，在實際生產上這種情況並不存在。例如，由於有上壓或下壓的採用，使上下軋輥直徑不可能相等；兩個軋輥磨損情況也不會相同；軋制時軋輥的彈性變形也一定會產生（當研究特殊問題時應考慮此點）；軋件內部各處性質也很難完全一樣等等。但是為了研究問題方便起見，有這些假設條件也是完全必要的。當然從理論上來看是要產生一定誤差。雖然如此，由簡單軋制情況出發所得到的結果，對指導實際而言還是足夠可靠的。

在孔型中軋制型材現在已廣泛採用，對此種軋制情況下的變形問題有些人已作了不少研究工作，這可參看塔爾諾夫斯基著的“金屬塑性加工時的變形”一書及雜誌上的一些論文。

現在分析一下在平輥上及孔型中軋制的特點。

1) 在平輥上軋制

軋輥曳入金屬的條件。只有實現軋輥曳入金屬才能完成軋制過程，關於自然曳入的條件可分為兩種情況：

i. 開始曳入的條件： $\alpha < \beta$ (α —曳入角； β —摩擦角)；

ii. 軋制形成階段使軋件保持繼續前進的條件： $\alpha < 2\beta$ 。

曳入角 α 增大可增加壓下量，提高軋機生產能力，但是 α 角的增加受到摩擦角 β 的限制，並且壓下量加大變形抗力也增加，這也聯繫到能量消耗及軋機零件的強度問題。

在軋制形成階段 α 角未採用等於 2β ，此時會有剩餘摩擦力產生，這即構成軋件的前滑 (Опережение) 現象。

變形區內軋件的速度變化。根據體積不變的定理可寫出下式：

$$H \cdot B \cdot L = h \cdot b \cdot l;$$

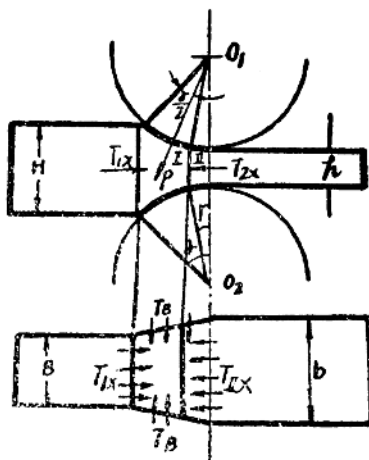


圖 1-11

由曲線上可看出在後滑區零件速度落後於零件水平分速度，而在前滑區則正與此相反，在後滑區零件沿軋輥產生向後滑動，而在前滑區零件則沿軋輥向前滑動。在對應于丫角的斷面上，軋輥水平分速度與零件前進速度相等，此斷面叫作臨界面或中立面，此丫角叫作臨界角或中立角。

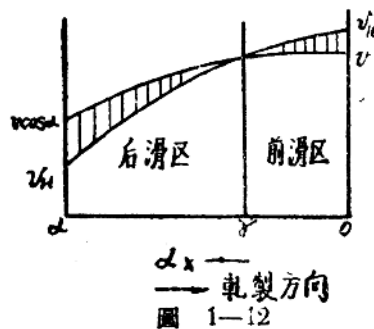


圖 1-12

在等式兩邊除以軋制時間 t 得：

$$\frac{HBL}{t} = \frac{h_b l}{t}; \quad \therefore HBV_a = h_b V_b;$$

$$\text{因此: } V_b = \frac{HB}{h_b} \cdot V_a = \mu V_a;$$

式中： V_a 与 V_b ——零件进入及軋出变形区时之速度。

由上式可知零件进入及軋出变形区时之速度是不同的，並且由数学分析及实验测量都可得到軋輥水平分速度与零件速度也不相同，(勿論在 I 区或 II 区) 即：

$$V \cos \alpha > V_a \text{ (在入口断面上);}$$

$$V < V_b \text{ (在出口断面上).}$$

以上結果可用圖 (1-12) 充分表示出：

在变形区内为何零件会产生加速度反前滑，前已提到这是由于剩余摩擦力所引起的，此力就是 T_{1x} 与 P_{1x} 之差值，其方向与軋制方向相同。

軋制时的变形力学圖示。由变形区内金属受力情况分析 (圖1-11) 可知軋制时应力状态圖示 (或主应力圖示) 为三向压缩，其主变形圖示則根据不同情况而異。归纳起来軋制时的变形力学圖示 (主应力圖示与主变形圖示的組合) 有三种情况、圖 (1-13)。

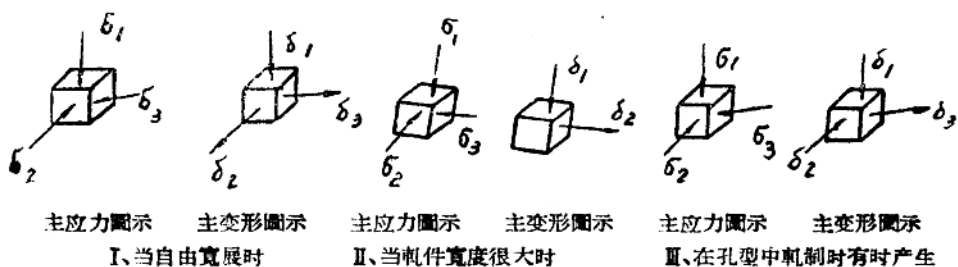


圖 1-13

应当指出，軋制时主应力圖示为三向压缩是指一般情况而言，实际上并不能完全符合于各种情况。例如沿零件宽度上来研究，在边部其宽展較自由，故在該处实际上可

能产生拉应力；在孔型中轧制也可能在个别部分受拉应力作用。

对变形力学图示必须完全了解，因为它能影响许多问题，如金属变形分布、变形抗力、金属塑性等等。

中立角的确定。在轧制形成阶段零件等速向前运动，此时变形区内水平分力之总和为零。（即 $\Sigma x = 0$ ）。

$$\therefore T_{zx} = p_x + T_{xz}; \text{ 而 } T_{zx} = f_p (\alpha - \gamma) R \cos \frac{\alpha + \gamma}{2} \approx pR (\alpha - \gamma);$$

$$p_x = p \cos R \sin \frac{\alpha}{2} \approx pR \cdot \frac{\alpha^2}{2}; \quad T_{xz} = f_p r R \cos \gamma \approx pRr; \quad (\text{设 } B_1 = B_2 = 1)$$

$$\therefore \beta (\alpha - \gamma) = -\frac{\alpha^2}{2} + \beta r;$$

$$\text{最后得: } r = \frac{\alpha}{2} \left(1 - \frac{\alpha}{2\beta} \right)$$

最后所得之公式表示出 α 、 β 、 γ 三角度间之关系，是轧制原理中很重要的一个关系式。现讨论如下：

(1) 当 $\alpha = \beta$ 时： $\gamma \max = \frac{\alpha}{4} = 0.25\alpha$ ，即如果假设宽展为零，当自然曳入时 γ 角最大，其值等于 0.25α 。

(2) 当 $\gamma = 2\beta$ 时： $\gamma = 0$ ，即在此时没有前滑产生，但在自然曳入时不会发生此情况，只有人为的曳入时才会产生此情况（如用楔形零件作实验时可得到 $\gamma = 0$ ）。

(3) 当 $\alpha = \beta$ ，而 $\beta = \infty$ 时： $\gamma = \frac{\alpha}{2}$ ，此为 α 角理论上的极大值。

以上所研究之曳入条件及前滑等问题皆假设宽展为零，但实际上并不为零。如果考虑宽展之影响，则可得到：

i. 轧制形成阶段之曳入条件为 $\alpha = (1.5 \sim 2.)$ ，当然也应注意到此式中已包括了压力不均匀分布等因素的影响。

ii. 中立角是， $\gamma = K_1 \frac{\alpha}{2} \left(1 - \frac{\alpha}{2\beta} \right)$ ，式中 K_1 为系数。

影响前滑的因素很多，实际上是很复杂的，例如： $\Delta b = \psi(f)$ ；而 $\gamma = \psi(f)$ ，但是 Δb 增大则前滑减少，所以应分别情况加以具体研究。

2) 在孔型中轧制

上部分所讨论之问题是属于简单轧制情况者，即建立在许多假设基础上，然而实际情况常与假设条件不符，所以作为科学的研究还有进一步讨论在其他情况下轧制特点之必要，苏联学者巴甫洛夫在八年前对 H_s 及 b_s 不为常数时的轧制情况曾进行了研究，其研究结果早已公佈。

轧制图示（Схема прокатки）巴甫洛夫对许多种轧制过程进行分析之后，将其归纳成以下四种轧制图示（1—14图）。

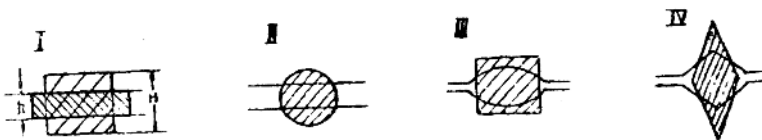


圖 1-14

I 圖示是在平輶輶上軋制方形或矩形斷面的軋件，其特点是沿軋件寬度上 μ 、 $d+h$ 、 d 、 H 、 h 、 α 皆等於常數 (d 為輶徑)，此種情況即屬於以前分析過的簡單軋制情況。

II 圖示是在平輶上軋制圓形斷面的軋件，其特点是沿軋件寬度上 μ 、 $d+h$ 、 h 是不變的，而 H 與 α 是變化的。

III 圖示是在橢圓孔型中軋制方形或矩形軋件，其特点是沿軋件寬度上 μ 、 $d+h$ 、 H 是不變的，而 d 、 h 、 α 是變化的。

IV 圖示軋件與輶輶全不是平的，其特点為沿軋件寬度上 μ 、 $d+h$ 不變，而 d 、 H 、 h 及 α 是變化的。

以上四種情況不能只看作是圖形所表示的軋制情況，其他某些情況也可包括在此四種圖示之中，如圖1-15所示即屬於圖II示情況。

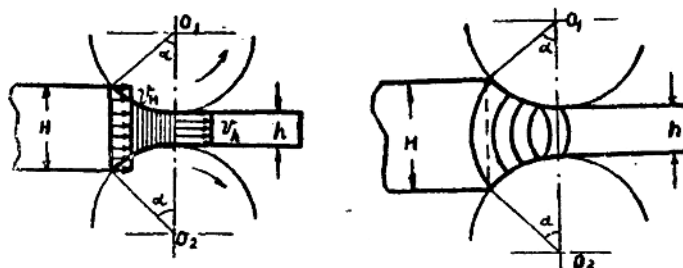


巴甫洛夫所提出的四種軋制圖示，其归纳並不是很完善的，它未能概括全部縱軋情況，因為所提出的四種情況皆為軋件形狀與垂直及水平軸線對稱，但實際上常常遇到上下左右均不對稱的

圖 1-15 軋件形狀（如軋制特殊型材時即如此），故此為其缺點。雖然以上軋制圖示尚存在缺點，但是巴甫洛夫的首創工作給我們指示出 彙納各種軋制過程之方向，因此科學工作者們以後應進一步研究此問題，以求能提出更好的軋制圖示，它能包括全部軋制情況與各種因素（例如：上下兩輶輶直徑不同）。

以上四種圖示中無論那種圖示均至少包含兩個不變的因素，即“ μ ”與 $d+h$ ， $d+h$ 不變是表示上下輶中心軸線距離沿軋件寬度上是不變的，即兩輶彼此平行。 μ 是否是改變的，此問題尚待研究，現在許多學者尚有不同意見。

由實驗與理論研究皆可以認為無論沿軋件寬度上變形是否均勻，由於金屬的完整性使 μ 沿寬度上是保持不變的。



I.

II.

圖 1-16

沿宽度上 $\mu = \frac{L_h}{L_H} = \frac{v_h}{v_H} = \text{常数}$, ∴ $v_h = \text{常数}$ $v_h = \text{常数}$ 。

由于入口与出口断面上零件运动速度沿宽度上是常数，故可知在变形区内各断面也不应发生弯曲（如图1—16.I所示），因为它们受入口与出口两端限制，由此可得出结论：变形区内各断面沿高度上速度相等。

上述观点是巴甫洛夫提出的，它受到一部分人的拥护，但有另外一些学者并不赞同他的见解，认为在变形区内各断面产生弯曲，就是在入口与出口处也是如此（图1—16.II），所以认为各断面沿高度上速度不等。至于说那个观点正确，最好由精确的实验来证实。

现在研究一下在孔型中轧制几个理论问题（如曳入、前滑等）的特点。曳入条件对图1—14中II、III、IV、图示来说，只能就 α_{\max} 处的 α_{\max} （图1—17所示）来研究。开始曳入时为 $\alpha_{\max} \leq \beta$ ，但在轧制形成阶段 $\alpha \leq 2\beta$ 的关系则不能应用于此种情况。这是因为其零件与轧辊的接触面积与图1—14中I图所示的不同。对前滑问题兹分别讨论如下：

图1—17所示的轧制情况，由于出口处零件速度 v_h 沿宽度上是不变的，所以沿零件宽度上 γ 角与前滑值并不改变。

$$S = \frac{v_h - v}{v} \cdot 100\% = \text{常数}.$$

但是 $r = \frac{\alpha}{2} (1 - \frac{\alpha}{2\beta})$ 关系式并不能适用于此种情况，因为合力作用点与简单轧制情况时不同，故一般只能近似的应用。

图1—18所示为图1—14III图示的轧制情况，此时 γ 角沿宽度上是变化的，因为 v_h 是常数，而 v 是变化的（由于轧辊工作直径不同），而 $S = \frac{v_h - v}{v} \cdot 100\%$ ，所以前滑值是变量。

如果其变化较大时则可能形成如图1—18虚线所示那样，此时沿零件宽度上有些地方前滑为负值。

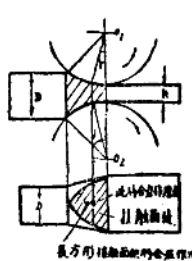


圖 1—17

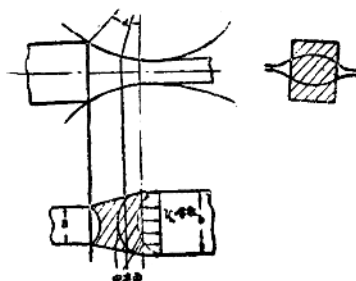


圖 1—18

图1—14中IV图示的情况由于 α 角的变化使前滑的变化与以前讨论过的情况有所不同，使问题愈趋复杂化。

总结以上讨论可得结论：由图1—14中的I图示过渡到IV图示使轧制情况逐渐复杂

化，对于研究如： Δb 、S、p，等各理論問題更感困难。对于Ⅱ、Ⅲ、Ⅳ圖示的研究，虽然現在有些进展，但还很不够，此为今后研究的方向。

2) 橫向軋制与斜向軋制

如圖 1—19，Ⅰ所示，縱向軋制特点為兩個軋輶互相平行並其旋轉方向相反，而軋件延伸方向与軋輶运动方向相同。如果將上軋輶繞垂直軸線轉180度角時則變成橫軋（圖1—19，Ⅱ）此時各軋輶轉動方向相同，而軋件只有轉動運動，並且其轉動方向与軋輶相反，軋件延伸方向与軋輶軸線平行。如果將縱向軋制的上軋輶繞垂直軸線轉動小於180度角（如156°）時，則變成斜向軋制。斜軋特点是軋輶軸線不在同一平面內，彼此相交成一定角度，因此軋件既有橫軋的轉動性質，也有縱軋的向前運動性質。

斜軋的应用很广，比橫軋为普遍。橫軋与斜軋所用坯料皆为圆形或近似圆形。

孔腔生成理論。如圖1—20所示，橫軋时軋件受P力作用使之变形，並由于表面上摩擦力之作用使之隨軋輶旋轉，待軋好后軋件則如圖 1—20 Ⅰ所示那样被取出。

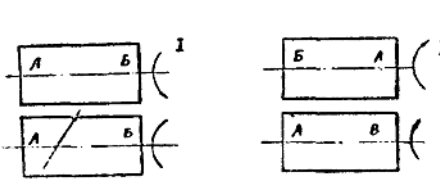


圖 1—19

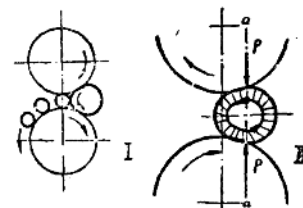


圖 1—20

橫軋时由於軋件上轉动力的作用点經常变化使金屬內应力状态非常复杂，由于此复杂力交替作用的結果，在軋件內部將引起小裂口，而逐漸形成孔腔。

孔腔生成的理論很多，但对孔腔生成的原因都不能給出完滿的解釋。很久以前有些人認為孔腔生成是由于切应力(τ)作用的結果，如圖 1—21所示。但是这个理論的提出不是根据實驗資料，而是出于想象，即認為当外力作用后金屬質點必沿虛線流动而使中心产生很大切应力，此力达到一定值后使金屬裂开。現在經過實驗証明此觀點是錯誤的，如圖1—22所示，金屬受壓力后外層已經变成椭圓而中心部分組織仍是原来的圓形，这証明塑性变形並未深入到中心部分，而首先产生于外層金屬，所以中心部分切应力不能是最大的。在目前苏联学者中已无人拥护这一理論了，而一般都認為孔腔是由于拉应力作用的結果。

如圖 1—20 Ⅱ所示，当金屬受力作用后，最外層產生了塑性变形使圓周長度增加，而中心層並未变形，其情況好象硬蕊子外面套

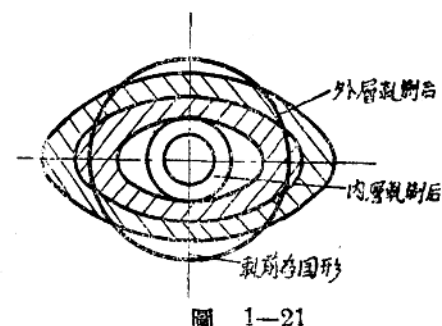


圖 1—21



圖 1—22

上管子受压时一样。如圖1—23所示，若管子套在硬蕊子上轧制时，由于管子产生塑性变形使其直径增加，最后使蕊子很容易抽出。这样由于外层金属变形而内层金属未变形，外层金属必对内层金属施以拉力作用。由于轧件旋转结果使中心处形成放射状拉应力（如圖1—23，II所示）。当拉应力达到一定值时使金属破裂而成孔腔。

中心部分金属除了受放射状向拉应力之外，沿长度方向上（轧辊轴线方向）也是受拉应力作用。如圖1—24所示，外层金属产生塑性变形，使轧件长度增加，但其内层金属（阴影部分）未变形，长度不变，结果内层金属受外层施以拉力作用。

由分析的结果可得结论：横轧时内层金属是处于三向拉应力状态下，使该部金属塑性降低，因而易生成孔腔。

以上所讨论的是横轧过程，而斜轧过程孔腔生成的原因也与此相同。最后应当指出，对于横轧与斜轧过程中金属变形方面的一些理论问题实验研究尚不多，故有许多现象尚无实验与理论上的论证。

斜轧与横轧不是完全相同的，轧件虽然都是圆的也是旋转的，但轧辊布置与形状则完全不同。斜轧的两轧辊轴线相交成一定角度，一般为 12° （圖1—25所示）。

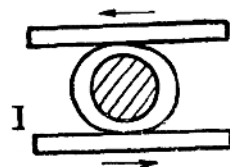


圖 1—23

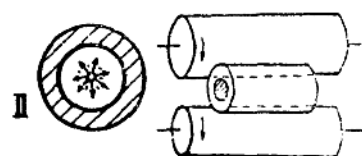


圖 1—24

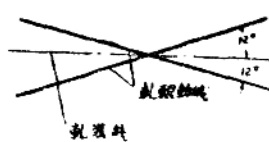


圖 1—25

当然这种相交不是在一个平面上的相交。斜轧轧辊是鼓形，如圖26所示，恰为两个截锥体所组成。金属从前锥（曳入锥）送进之后，随着变形而使中心部分生成孔腔，借芯头之助而将内壁压平，由轧辊轧出后即成荒管。

现在分析一下斜轧过程中轧件前进与旋转运动的产生。如圖所示，由于x力使轧件向前运动，而y力使之旋转，设若只有x力则变成纵轧，而只有y力则变成横轧。x力比y力小很多，靠它使轧件曳入。在斜轧中也有剩余摩擦力，故也有前滑产生，但其值很小，因为它被芯头之摩擦阻力消耗了一些。斜轧中有另一現象是纵轧中沒有的，即由于变形区内轧辊直徑是变化的，故其速度不同，因之使轧件前端对后端产生扭轉。所有这些問題尚待我們进一步研究。

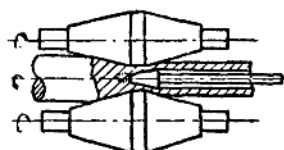


圖 1—26

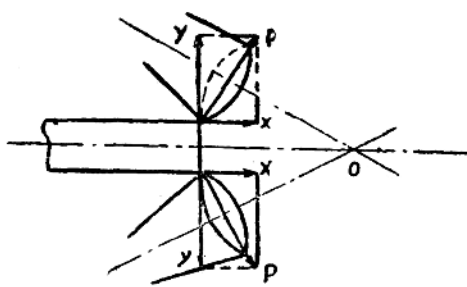


圖 1—27